

令和 7 年度  
修士学位論文

論文用テンプレート

信州大学大学院  
総合理工学研究科纖維学専攻  
機械ロボット分野

指導教員 河村 隆 教授

令和 6 年入学  
学籍番号 24FS310F  
氏名 許 鵬飛

# 目次

第 1 章	緒言	1
1.1	研究背景	1
1.2	課題：農業環境における自律移動ロボットの課題	1
1.3	先行研究とその限界	1
1.4	本研究の目的と新規性	2
1.5	本論文の構成	2
第 2 章	高速・高信頼センシングシステムの構築	3
2.1	システム全体の概要	3
2.2	センサユニットの開発	3
2.2.1	高速分光センサ駆動モジュールの開発における従来の課題	3
2.2.2	提案手法：デュアルスイッチ FSM アーキテクチャ	4
2.3	その他のセンサインターフェース	8
第 3 章	提案手法：GNSS 品質監視に基づくロバスト自己位置推定	10
3.1	問題の再定義：農業用ハウスにおける GNSS 信号品質の特性分析	10
3.2	ベースライン：LiDAR 慣性オドメトリ (LIO)	10
3.3	提案手法：GNSS 品質監視モジュールと適応的 EKF 融合	10
3.3.1	全体アーキテクチャ	11
3.3.2	GNSS 品質監視モジュール	11
3.3.3	EKF による状態推定	11
3.4	期待される効果	11
第 4 章	実験による評価 (Experimental Evaluation)	12
4.1	実験設定	12
4.2	定量的評価：自己位置推定精度の比較	12
4.2.1	考察	12
第 5 章	生態環境マッピング	13

5.1	マッピング手法と実験条件	13
5.2	生成された生態環境マップ	13
5.3	マッピング結果の考察	16
5.3.1	スペクトル特徴による植生検出	16
5.3.2	微気象データの安定性と環境勾配	16
第 6 章	結論 (Conclusion)	18
6.1	本研究の成果	18
6.2	今後の課題と展望	18
参考文献		19
謝辞		20
付録 A	インターフェース回路	21

# 第1章 緒言

## 1.1 研究背景

日本の農業では、農業従事者の減少と高齢化の進行により、労働力不足が深刻な問題となっている [1]。平成 27 年から令和 5 年にかけて、基幹的農業従事者は 175.7 万人から 116.4 万人へと減少した。特に 65 歳以上の従事者の割合が高く、平均年齢も上昇している [2]。この問題に対応するため、日本政府は農業現場における農業データの利活用の推進を支持している [3]。例えば、農業現場における土壌データ、気象データなどの農業データを活用することで、農作業の効率化やコストの削減を実現することができる。そこで、我々は桑畠での適用を例として、複数の AGV (Automatic Guided Vehicle, 以下, AGV) を使用して圃場を巡回し、桑の生育状態を自動で観察するシステムの構築を目指す。

## 1.2 課題：農業環境における自律移動ロボットの課題

AGV による圃場モニタリング自動化の可能性を示す。しかし、屋外不整地、特に農業用ハウスのような半構造化環境における自己位置推定の困難性を問題提起する。不整地でのスリップによるオドメトリ誤差。ハウス骨格による GNSS 信号の遮蔽・マルチパス、それに伴う信号品質の動的な変動（君の実験結果をここで軽く触れる）。

## 1.3 先行研究とその限界

一般的な屋外 SLAM/LIO 技術 (FAST-LIO2 等) を紹介し、ドリフト蓄積の問題点を指摘する。GNSS を用いたセンサーフュージョン技術を紹介するが、GNSS 信号が常に良好であることを前提としている研究が多い点を指摘し、ハウス環境への適用限界を示す。本研究室の先行研究（小林さん）に触れ、センサデータ収集は行われたが、位置精度やロバストな自律走行には課題が

残っていたことを明確にする。

## 1.4 本研究の目的と新規性

目的: GNSS 信号品質が動的に変動する農業用ハウス環境において、3D-LiDAR, IMU, Wheel Odometry, および品質情報付き GNSS をインテリジェントに統合し、途切れなく (continuous)、信頼性の高い (high-integrity)3D 自己位置推定を実現する手法を開発すること。さらに、その高精度な軌跡に基づき、高分解能な生態環境マップを生成すること。

新規性: (1) ハウス環境特有の GNSS 品質変動パターンを実測に基づき分析・モデル化する点。(2) GNSS 品質情報（協方差等）に応じて融合システムへの寄与を動的に調整する「GNSS 品質監視・融合制御」アルゴリズムを提案・実装する点。(3) 上記技術の有効性を実環境データで定量的に実証する点。

## 1.5 本論文の構成

各章の概要を簡潔に述べる。

# 第2章 高速・高信頼センシングシステムの構築

この章で、ハードウェア/組み込み技術の高さを明確に示す

## 2.1 システム全体の概要

AGV プラットフォーム (GS02 ベース)、搭載センサ群 (Mid360, IMU, ZED-F9P, VESC, 生態センサユニット)、ソフトウェア (ROS 2) からなる全体構成を示す (ブロック図)。  
TF ツリーを示し、特に LiDAR の傾斜搭載について言及する。

## 2.2 センサユニットの開発

本研究で構築するセンサユニットは、植生状態の観察を目的とし、浜松ホトニクス製ミニ分光器 C12880MA を搭載する。生育環境の評価のため、Bosch Sensortec 製 BME280 (秋月電子通商製ブレークアウト基板 AE-BME280) および ELT SENSOR 社製 S300L-3V  $CO_2$  センサを統合した。STMicroelectronics 製マイクロコントローラ (MCU) を使用し、センサデータを収集する。本センサユニットの全体構成を Fig. 2.1 に示す。各センサおよび MCU のインターフェース回路を付録に示す (Fig. A.1, Fig. A.2, Fig. A.3(a), Fig. A.3(b)).

### 2.2.1 高速分光センサ駆動モジュールの開発における従来の課題

C12880MA センサは、入力 ST 信号立下り後、TRG 信号を出力し、第 89 番目の TRG (トリガ) 信号立上りで Video 信号を出力する。そのタイミングを Fig. 2.2 に示す。

従来は、TRG 信号の立ち上がりで割り込みを発生させ、割り込みサービスルーチン (以下、ISR) 内で ADC データを読み取る割り込み駆動方式を用いてきた。本研究室の先行研究では、LPC1768 MCU と外部 AD コンバータ (SPI 接続) を用い、この方式で C12880MA から 50 kHz

Table 2.1 Limits of acquisition frequency with conventional methods

Method	MCU	Achieved frequency
Interrupt only	STM32F446RE	25.4 kHz
Interrupt + DMA	STM32F446RE	130 kHz

でのデータ取得が報告されている [4]. しかしこの方式では、取得ごとに CPU が ISR を必ず実行する必要があるため、割り込み応答遅延が主要な性能制約となり、センサが持つ数 MHz 帯の性能を引き出すことは困難である。

この制約を再確認するため、内部 ADC が高速な STM32F446RE でも ISR の方式を検証した。結果は Table 2.1 のとおりであり、割り込みのみでは 25.4 kHz 付近で欠落が発生した。さらに DMA (Direct Memory Access ; CPU を介さずに周辺装置とメモリ間でデータを自動転送する仕組み。以下、DMA) を併用することで CPU 負荷は低減し、取得可能周波数は 130 kHz まで向上したが、遅延は残存し、数 MHz 帯には到達しなかった。以上より、割り込み起動時の遅延は問題であることが確認された。

## 2.2.2 提案手法：デュアルスイッチ FSM アーキテクチャ

割り込み遅延を排除するため、タイマ・ADC・DMA をハードウェアトリガで直結するアーキテクチャ (Timer→TRGO→ADC→DMA) は必須である。しかし、この構成には C12880MA 特有の「競合状態 (Race Condition)」の問題が存在する。

### 2.2.2.1 C12880MA 駆動における「フライングスタート」問題

C12880MA の TRG 信号は、CLK (クロック) 信号のミラであり、CLK が供給されている限り TRG も常時出力され続ける。一方、我々の制御フローは「(1) ST=HIGH で積分 → (2) ST=LOW で ADC 読出開始」である。もし、(1) の積分期間中に ADC がすでに DMA (HAL\_ADC\_Start\_DMA()) によって待機状態 (Armed) に設定されていた場合、常時入力されている TRG 信号が ADC を即座に誤トリガしてしまう。その結果、ST=HIGH 期間中の無効な暗レベルデータのみが DMA バッファに書き込まれてしまい、正しいスペクトルデータを取得できない。

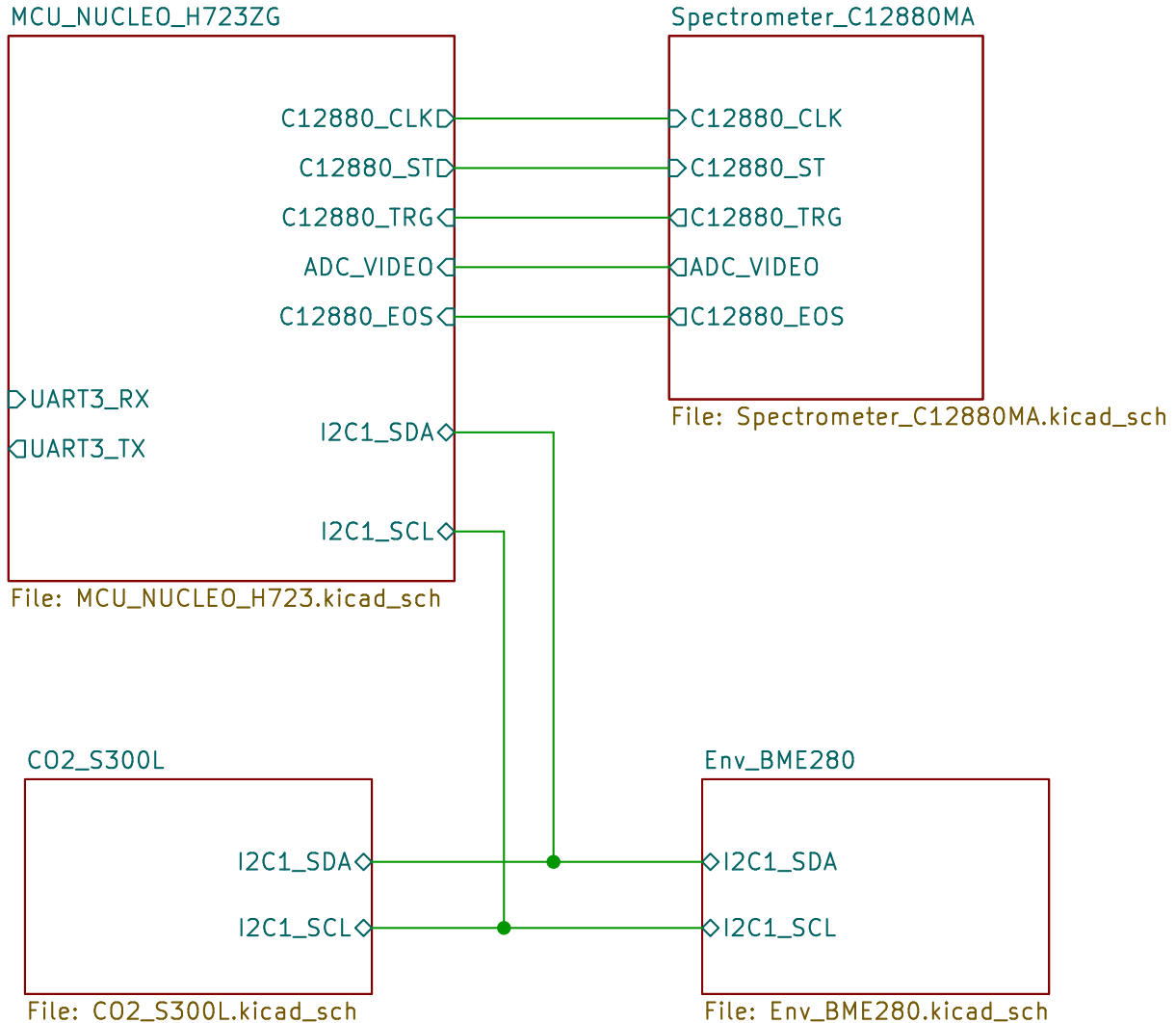


Fig. 2.1 Overall multisensor system architecture

### 2.2.2.2 FSM（有限状態機械、以下、FSM）の設計

この問題を根本的に解決するため、ソフトウェアのタイミング制御に依存せず、2つの独立したハードウェア「スイッチ」によってデータフローを厳密に制御する FSM を設計した。

**2.2.2.2.1 スイッチ1：CLK信号の制御** 第1のスイッチは、TRG信号の源である CLK 信号自身を制御する。汎用タイマ（TIM4 等）の PWM モードを用いて C12880MA の CLK 信号を生成する。これにより、HAL\_TIM\_PWM\_Start() と HAL\_TIM\_PWM\_Stop() を呼び出すことで、CLK（ひいては TRG）信号の発生源をソフトウェアレベルで完全にオン・オフ制御することが可能となる。

**2.2.2.2.2 スイッチ2（ゲートの制御）：ST信号によるブレーキ機能** 第2のスイッチは、ADCへのトリガ信号を物理的に遮断する「ゲート」である。制御タイマ（TIM1 等）を ADC の

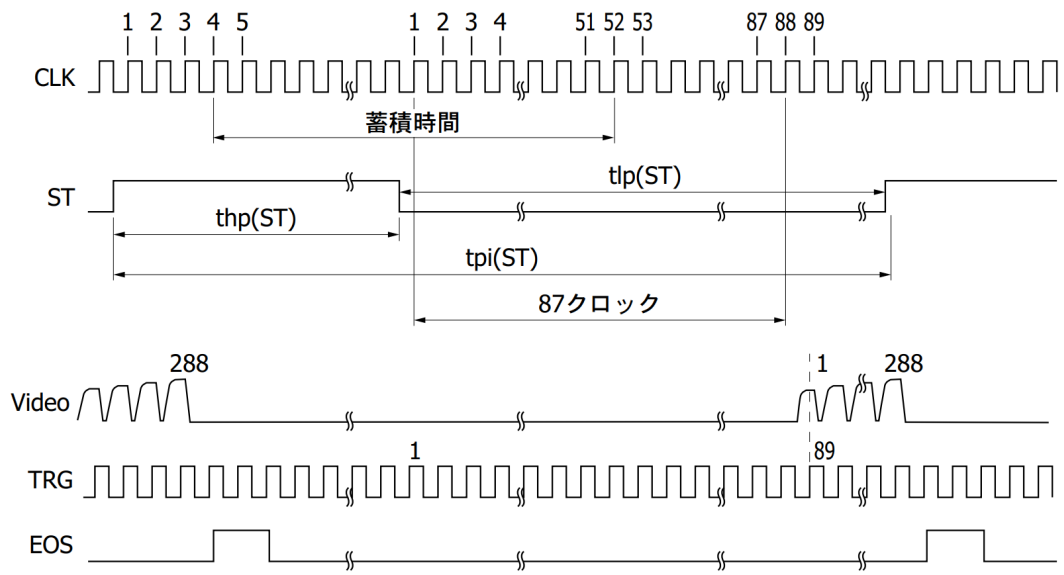


Fig. 2.2 Timing diagram of the C12880MA: excerpted from the Hamamatsu Photonics datasheet[5]

トリガスレーブとして設定し、センサの ST 信号を TIM1 の **BKIN** (ブレーキ) ピンに接続する。ブレーキ極性を「アクティブ・ハイ (High でブレーキ作動)」に設定する。これにより、ハードウェアゲートが実現される：

- **ST = HIGH (積分時)**：ブレーキがハードウェアレベルで有効化される。この状態では、たとえ TRG 信号がタイマ (TIM1) に入力されても、ADC を起動するための TRGO (トリガ出力) は遮断される。
- **ST = LOW (読み出し時)**：ブレーキがハードウェアレベルで解除される。TRGO 出力が許可され、TRG 信号が ADC に到達可能となる。

### 2.2.2.3 FSM (有限状態機械) による制御フロー

この「デュアルスイッチ」設計に基づき、極めて堅牢な FSM 制御フローを実装した。主要な状態遷移は以下の通りである。

1. **状態 0: IDLE (待機)** : ST=LOW, CLK(PWM)=OFF. ADC は停止中。ブレーキは解除されているが、TRG 信号源が OFF のため安全。
2. **状態 1: Arming (準備)** : HAL\_ADC\_Start\_DMA() を呼び出し、ADC を待機状態にする。TRG 信号源は OFF のため、誤トリガは発生しない。
3. **状態 2: Integration (積分)** : ST=HIGH に設定。ハードウェアブレーキが即座に作動し、ADC へのゲートが閉じる。その後、HAL\_TIM\_PWM\_Start() で CLK(PWM) を ON にする。

TRG 信号が出始めるが、ブレーキによって ADC には到達しない。この状態で任意の時間（積分時間）だけ待機する。

4. **状態 3: Readout (読出)** : ST=LOW に設定。ハードウェアブレーキが即座に解除され、ADC へのゲートが開く。ADC は待機状態、TRG 信号はすでに入力中、ゲートは開放。次の TRG 信号の有効エッジで、ADC がハードウェア同期され、DMA 転送が自動的に開始される。
5. **状態 4: Complete (完了) → IDLE へ**: DMA 転送が完了すると、HAL\_ADC\_ConvCpltCallback 割り込みが発生する。ISR 内で HAL\_TIM\_PWM\_Stop() を呼び出し、CLK(PWM) を OFF にする。ADC は HAL ライブラリによって自動的に停止される。システムは安全に状態 0 (IDLE) に戻る。

この「ブレーキゲート」と「CLK 制御」を組み合わせたデュアルスイッチ FSM は、C12880MA の「フライングスタート」問題をハードウェアレベルで解決し、正確な同期を実現した。このアーキテクチャが次節で述べる高速データ取得の基盤である。

#### 2.2.2.4 STM32F446RE でのアーキテクチャ検証

従来手法では 130 kHz が限界であった STM32F446RE に新アーキテクチャを実装したところ、0.5 MHz および 1 MHz での安定したデータ取得に成功した。この結果から、従来手法の主要な性能制約が割り込み起動遅延と ISR 処理時間に起因していたこと、および本アーキテクチャがその解消に有効であることが示された。なお、本 MCU に搭載される ADC の性能から、達成可能な最大周波数は理論上およそ 1.5 MHz である。

#### 2.2.2.5 STM32H723ZG での 5 MHz 高速取得の実現

次に、最大 5 MSPS の ADC を搭載する STM32H723ZG に同アーキテクチャを実装した。H7 シリーズ特有のキャッシュ・コヒーレンシ問題に対処するため、DMA の転送先バッファを非キャッシュの DTCM (Data Tightly Coupled Memory) 領域に配置し、さらに ADC のハードウェアキャリブレーションとトリガ遅延設定を最適化した。その結果、目標としていた 5 MHz でのスペクトルデータ連続取得に成功した。

#### 2.2.2.6 ADC 性能とサンプリングレートの検証

本システムが目標とする 5 MHz のデータレートを達成可能であることを、MCU の ADC 性能とセンサのタイミング制約から検証する。

センサに供給するクロックが 5 MHz であるため、データ更新周期  $T_{\text{period}} = 1/5 \text{ MHz} = 200 \text{ ns}$  である。しかし、センサのデータシートによれば、アナログ出力 (VIDEO) 信号が安定している

のは TRG 信号の立ち上がりエッジを中心とした半周期のみである。したがって、ADC が正確な電圧値をサンプリングできるサンプリング可能時間幅  $T_{\text{stable}}$  は、わずか  $200 \text{ ns}/2 = 100 \text{ ns}$  となる。この厳しい制約を満たすため、ADC の動作を「サンプリング」と「変換」の二段階に分けて評価する必要がある。

1. サンプリング時間 :  $T_{\text{sampling}} \leq 100 \text{ ns}$ .
2. 総変換時間 :  $T_{\text{total}} < 200 \text{ ns}$ .

これらの条件、特に総変換時間 200ns の制約を満たすには、高速な ADC クロックが不可欠である。本研究では、サンプリング時間を 2.5 サイクル、変換時間を 12.5 サイクル（12 ビット分解能）に設定したため、合計 15 サイクルが必要となる。ここから逆算すると、要求される ADC クロック周波数  $f_{\text{ADCK}}$  は次式のようになる。

$$f_{\text{ADCK}} > \frac{15}{200 \text{ ns}} = 75 \text{ MHz} \quad (2.1)$$

STM32H723ZG のデータシート [6] によれば、12 ビット ADC の最大クロック周波数  $f_{\text{ADC}}$  は 75 MHz と規定されている。この規定周波数で安定動作を検証した結果、C12880MA に入力する CLK 信号を 4 MHz 以下にする必要があった。センサの仕様上限である 5MHz での高速取得を試みるため、ADC のカーネルクロックを 96 MHz に設定した。これはデータシートの仕様を超える値であるが、実験環境下での安定動作を実測により確認した。

この 96 MHz のクロック設定に基づき、実際の動作時間を再計算すると以下のようになる。

$$T_{\text{sampling}} = \frac{2.5}{96 \text{ MHz}} \approx 26.0 \text{ ns} \quad (2.2)$$

$$T_{\text{total}} = \frac{2.5 + 12.5}{96 \text{ MHz}} = \frac{15}{96 \times 10^6} \approx 156.3 \text{ ns} \quad (2.3)$$

計算の結果、サンプリング時間は 26.0ns であり、要求される 100ns の安定時間窓を十分に満たしている。また、総変換時間は 156.3ns であり、これも次のデータ周期である 200ns 未満である。以上の理論評価と測定結果により、本システムが 5 MHz で安定してデータ取得できることを確認した。

## 2.3 その他のセンサインターフェース

BME280, S300L, GNSS, IMU, Wheel Odometry のデータ取得方法について簡潔に述べる。

Table 2.2 Acquisition frequency (proposed architecture)

Method	MCU	Achieved freq.
Proposed arch.	STM32F446RE	1.5 MHz (theory)
Proposed arch.	STM32H723ZG	5.0 MHz (achieved)

# 第3章 提案手法：GNSS品質監視に基づくロバスト自己位置推定

Proposed Method: Robust Localization based on GNSS Quality Monitoring 写上大欄和照片

## 3.1 問題の再定義：農業用ハウスにおけるGNSS信号品質の特性分析

実測したデータ（良好時と不良時のfixメッセージの協方差、衛星数、FIX/FLOAT状態の遷移など）を提示し、ハウス環境におけるGNSS信号の不安定性と品質指標（協方差）の信頼性（正直さ）を定量的に示す。TFツリーを示し、特にLiDARの傾斜搭載について言及する。

## 3.2 ベースライン：LiDAR慣性オドメトリ(LIO)

FAST-LIO2の概要と、本研究における適用方法(IMUキャリブレーション含む)を述べる。  
LIO単独での精度限界(ドリフト)を示すための予備実験結果(あれば)を提示する。

## 3.3 提案手法：GNSS品質監視モジュールと適応的EKF融合

C12880MAのデータシート要求(数MHz)に対し、先行研究(割り込み方式)では数十～百数十kHzが限界であったことを示す(君のTable1を引用)。

### 3.3.1 全体アーキテクチャ

LIO、Wheel Odometry、GNSS Supervisor Module、EKF (robot localization) からなる融合システムのブロック図を示す。

### 3.3.2 GNSS 品質監視モジュール

GNSS データ (/fix) を入力とし、その品質（主に協方差行列、必要なら FIX/FLOAT 状態なども加味）を評価し、「信頼できるデータのみ」を EKF へ送る、あるいは「品質情報を重みとして」EKF へ送るアルゴリズムを提案する（閾値処理や信頼度スケーリングなど）。このモジュールが新規性の中核であることを強調する。

### 3.3.3 EKF による状態推定

Robot localization を用い、LIO (Wheel Odom) を高頻度の主要な運動推定源とし、品質監視モジュールを経由した GNSS データを低頻度の絶対位置補正源として融合する設定を説明する。

## 3.4 期待される効果

GNSS 信号が良いときはその精度を活用し、悪いときは LIO によってドリフトを抑制し、全体として精度と頑健性を両立できることを論理的に説明する。

# 第4章 実験による評価 (Experimental Evaluation)

## 4.1 実験設定

実験フィールド（信州大学農場ハウス）、使用した AGV、データ収集シナリオ（GNSS 良好時、不良時、ハウス内外移動時）を詳細に記述する。

評価に用いた Ground Truth の定義（例：GNSS 良好時の高精度軌跡、あるいは外部計測機器）を明確にする。

## 4.2 定量的評価：自己位置推定精度の比較

比較手法: (1) LIO (+Wheel Odom) のみ、(2) LIO+Wheel+GNSS のナイーブな融合（品質無視）、(3) 提案手法（品質監視付き融合）の 3 つを用意する。

各シナリオのデータセットに対して 3 手法を適用し、得られた軌跡を Ground Truth と比較する。

結果の提示: (1) 軌跡比較図 (Fig. )、(2) 定量評価指標 (RMSE, 最大誤差など) の比較表 (Table ) を示す。

### 4.2.1 考察

実験結果に基づき、提案手法 (3) が比較手法 (1)(2) に対して優位性を持つことを明確に論証する。特に、GNSS 品質が悪化した際に、ナイーブ融合 (2) が破綻するのに対し、提案手法 (3) が安定して精度を維持できることを強調する。

GNSS 品質監視モジュールの閾値設定などのパラメータの妥当性についても議論する

# 第 5 章 生態環境マッピング

本章では、第 2 章で開発したセンサユニットと位置推定システムを統合し、実際の圃場環境における生態情報の空間マッピングを行う。

## 5.1 マッピング手法と実験条件

本研究の最終目標は完全自律走行によるモニタリングであるが、データ取得した時点では自律走行アルゴリズムのロバスト性を検証中である。そのため、本章で報告する実験は、手動操作により AGV を走行させてデータを取得したものである。本実験の主目的は、GNSS/LiDAR による高精度な位置情報と、非同期に取得される環境センサデータを正確に融合し、将来的な自律走行システムにおいて期待される環境マップ生成機能の有効性を実証することである。

具体的なデータ処理手順は以下の通りである。

1. **データの同期:** センサユニットから取得された環境データ（スペクトル、CO<sub>2</sub>、温湿度、気圧）に対し、タイムスタンプに基づいて最も近い位置情報（GNSS/LiDAR オドメトリ）を割り当てる。
2. **データの正規化:** 各環境データの微細な変動を視覚化するため、取得データの最小値および最大値を用いてカラーマップのダイナミックレンジを動的に調整する。
3. **可視化:** 2 次元平面（XY 平面）上の軌跡としてプロットし、各地点におけるセンサ値を色情報として重畳表示する。

## 5.2 生成された生態環境マップ

10 月 23 日に収集したデータセットに基づき生成された各種環境マップを以下に示す。実験当日の天候は晴れであり、ハウスの側面は換気のため開放された状態であった。

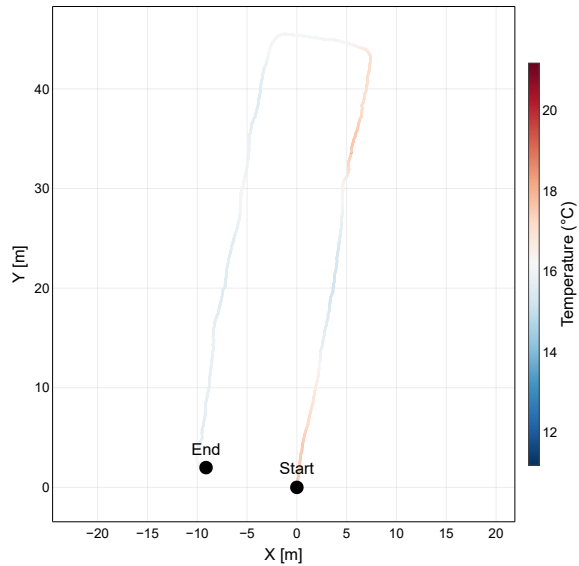


Fig. 5.1 Temperature map ( $^{\circ}\text{C}$ ).

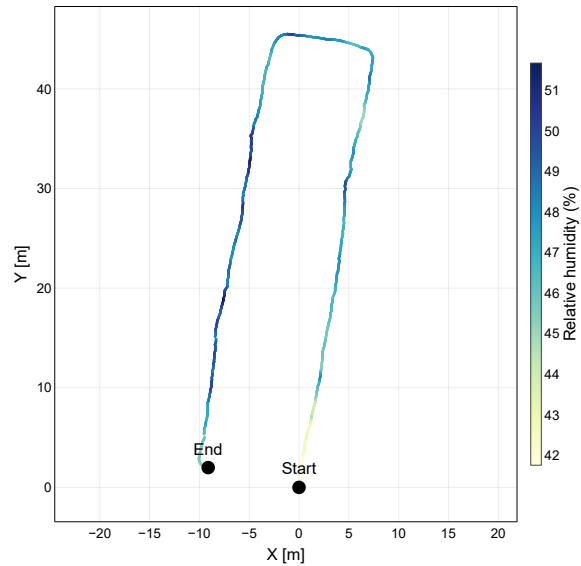


Fig. 5.2 Relative humidity map (%).

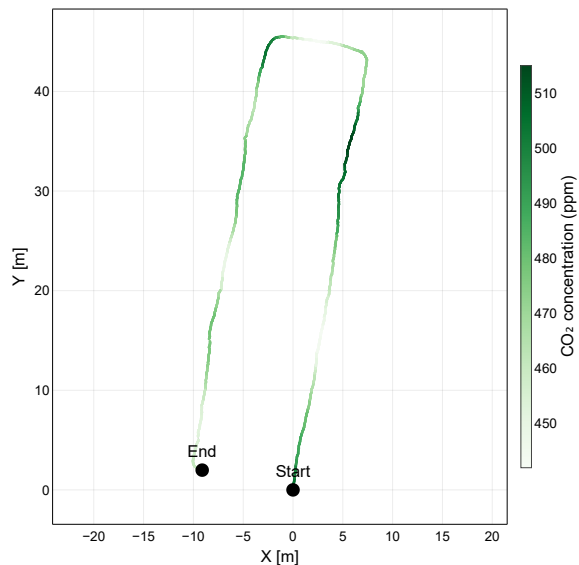


Fig. 5.3 CO<sub>2</sub> concentration map (ppm).

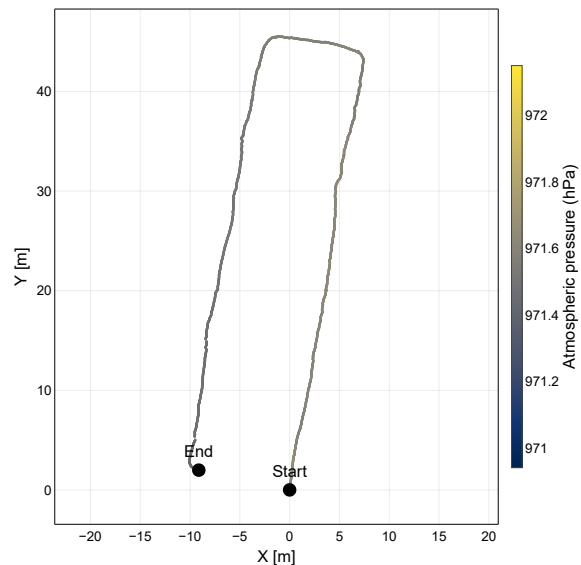


Fig. 5.4 Atmospheric pressure map (hPa).

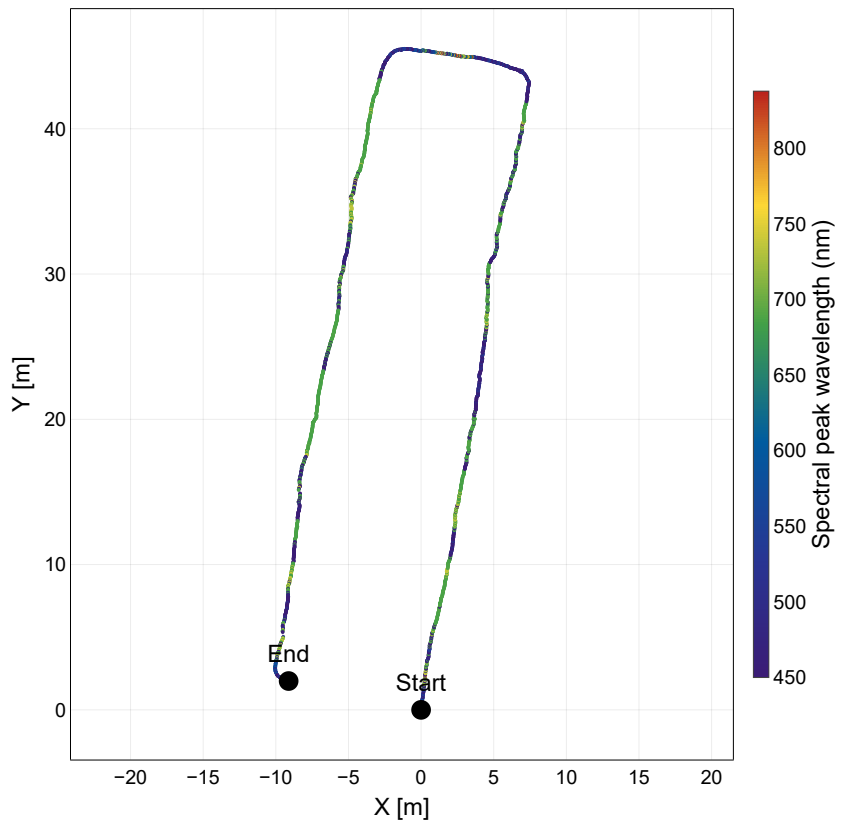


Fig. 5.5 Spectral peak wavelength map (nm). Frequent colour changes along the trajectory reflect differences in reflectance characteristics between vegetation (greenish regions) and soil or gaps (bluish regions).

## 5.3 マッピング結果の考察

### 5.3.1 スペクトル特徴による植生検出

Fig. 5.5 に示す分光データのピーク波長マップにおいて、軌跡上の色が頻繁に変化していることが確認できる。詳細に見ると、約 550 nm (緑色帯域) にピークを持つデータ点と、それ以外の波長帯域 (青色や近赤外領域など) にピークを持つデータ点が混在している。これは、AGV が桑の木の下を通過した際には葉緑素による緑色反射が支配的になり、株間の土壤や空隙を通過した際には異なる反射特性が観測されたことを示唆している。この結果は、本システムが移動しながら、対象物の材質や植生の有無といった光学的な特徴を高分解能に識別可能であることを実証している。

### 5.3.2 微気象データの安定性と環境勾配

環境センサ (温度・湿度・CO<sub>2</sub>・気圧) のマッピング結果 (Fig. 5.1–5.4) について考察する。本実験は通気性の高い開放型ハウスで実施されたため、ハウス内外での巨視的な環境差は極めて小さい条件下であった。それでもかかわらず、データの正規化表示により、以下の微細な環境特性が明らかになった。

- **温度と湿度の逆相関:** Fig. 5.1 (温度) と Fig. 5.2 (湿度) を比較すると、温度が高いエリアでは湿度が相対的に低く、温度が低いエリアでは湿度が高いという、物理法則 (空気線図) に整合する逆相関が明瞭に観測された。これは、提案センサシステムがノイズに埋もれることなく、わずかな物理的変動を空間分布として捉えられていることを示している。
- **CO<sub>2</sub> 濃度の空間勾配:** Fig. 5.3 に示すように、CO<sub>2</sub> 濃度はおおよそ 400~510 ppm の範囲で推移した。特に、ハウス奥側 (図の上部ループ付近) において濃度が高まる傾向が見られる。これは、換気の影響が届きにくい領域での空気の滞留や、植生による局所的な呼吸の影響を捉えている可能性がある。

以上の結果より、提案システムは、GNSS 信号と環境センサデータを高精度に統合し、圃場内の空間的な環境マップを生成する能力を有していることが確認された。本実験は手動走行によるものであったが、得られたマップの品質は、自律走行システムに統合された際にも同様に高精細

な環境モニタリングが可能であることを示唆する期待通りの結果 (expected result) である。

# 第6章 結論 (Conclusion)

## 6.1 本研究の成果

本研究で達成したこと（高速センサ駆動、GNSS品質分析、ロバスト融合手法の提案と実証、生態マップ生成）を簡潔にまとめる。

研究目的が達成されたことを明確に述べる。

## 6.2 今後の課題と展望

提案手法のさらなる改善点（例：より高度なFDIR、機械学習の導入など）。

完全自律走行の実現。

雑草エリアでの走行（可通行性解析）。

長期運用による時系列マップの作成と農業応用。

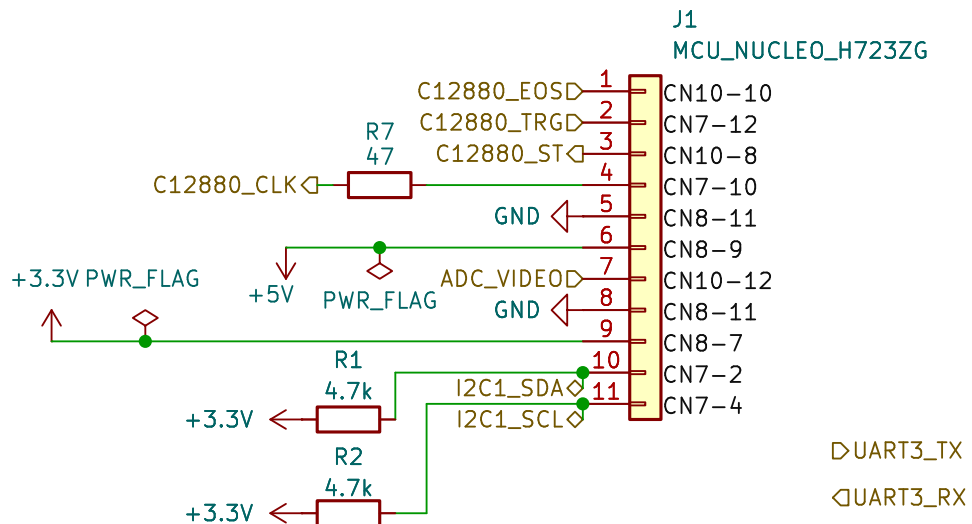
# 参考文献

- [1] 農林水産省. スマート農業の展開について. [https://www.soumu.go.jp/main\\_content/000775128.pdf](https://www.soumu.go.jp/main_content/000775128.pdf). (Accessed on 16/6/2025).
- [2] 農林水産省. 農業労働力に関する統計. <https://www.maff.go.jp/j/tokei/sihyo/data/08.html>. (Accessed on 16/6/2025).
- [3] 農林水産省. 農業データの利活用の推進について. <https://www.maff.go.jp/j/kanbo/smart/attach/pdf/index-146.pdf>. (Accessed on 16/6/2025).
- [4] 小. 拓也. “AGVによる作物の生育状況観察システムに関する研究”. 修士学位論文. 信州大学 大学院総合理工学研究科, 2021.
- [5] Hamamatsu-Photonics. Mini-spectrometers. [https://www.hamamatsu.com/content/dam/hamamatsu-photonics/sites/documents/99\\_SALES\\_LIBRARY/ssd/c12880ma\\_c16767ma\\_kacc1226e.pdf](https://www.hamamatsu.com/content/dam/hamamatsu-photonics/sites/documents/99_SALES_LIBRARY/ssd/c12880ma_c16767ma_kacc1226e.pdf). (Accessed on 10/9/2025).
- [6] STMicroelectronics. stm32h723zg datasheet. <https://www.st.com/resource/en/datasheet/stm32h723zg.pdf>. (Accessed on 10/9/2025).

# 謝辞

本研究の遂行にあたり，指導教官として終始多大なご指導を賜った河村隆教授に深謝致します。また河村研究室の皆様には，本研究の遂行にあたり多大なご助言，ご協力頂きました，ここに感謝の意を表します

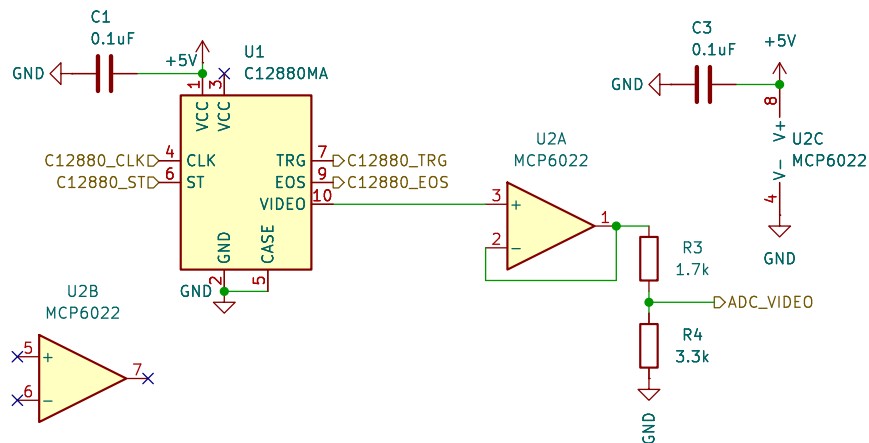
# 付録 A インタフェース回路



USART3 (PD8/PD9) is routed to the on-board ST-LINK Virtual COM Port (VCP).  
Power and UART share the same Micro-USB cable.  
Default solder bridges: PD8=SB19 ON; PD9=SB12 ON.

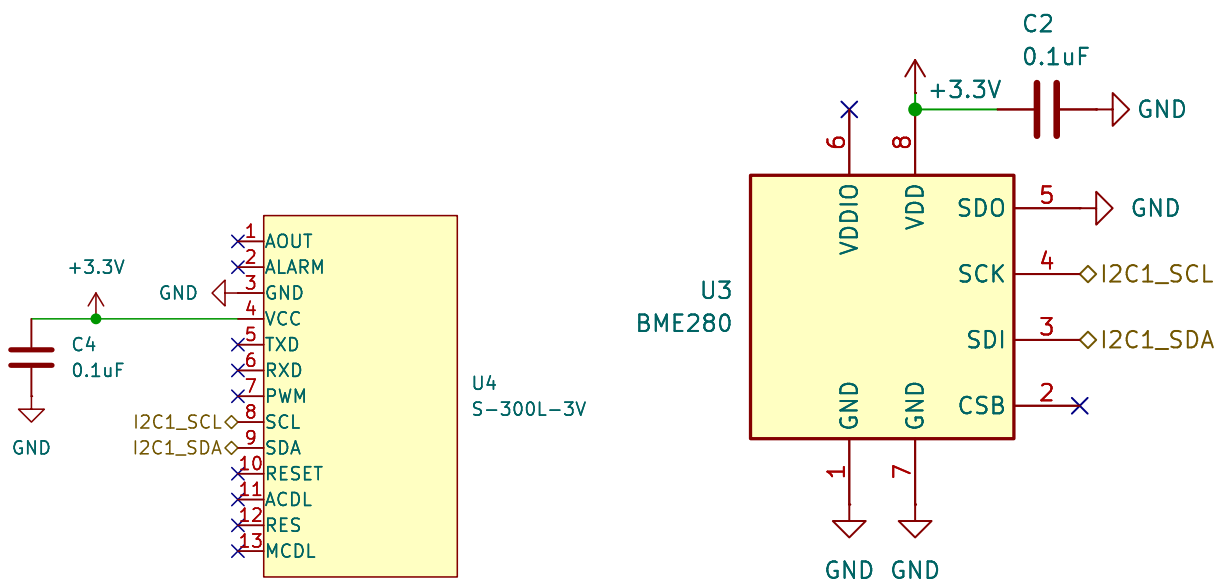
- Power source (USB mode):
- +5V\_USB: USB VBUS from on-board ST-LINK (Micro-USB), provided on CN8 5V pin (output).
  - +3V3: Generated by the NUCLEO on-board regulator, provided on CN8 3V3 pin (output).

Fig. A.1 MCU (NUCLEO-H723ZG) interface circuit



**DESIGN RATIONALE:**  
 C12880MA 5V digital outputs (TRG/EOS) connect directly to 5V-tolerant MCU pins.  
 A divider is avoided on the high-speed TRG signal to maintain edge integrity.  
 The 5V analog VIDEO output is buffered by U2A and scaled down by R3/R4 to fit the MCU's 3.3V ADC input range.

Fig. A.2 Spectrometer (C12880MA) interface circuit



(a) CO<sub>2</sub> sensor (S300L) interface circuit

(b) Environmental sensor (BME280) interface circuit

Fig. A.3 Interface circuits for CO<sub>2</sub> and environmental sensors.